

총 순 <sup>\*</sup>  
박 태 문

부산 개방 대학  
부산 개방 대학

## 1. 서 론

벡터제어는 Darmstadt 공과대학의 Hasse 씨가 1986년 그 원리를 발표 하였다.) 4) 6) 1971년 Blaschke 씨가 회전 자속축을 기준으로 한 가변속 벡터제어 개념을 발표하였다.<sup>1)</sup> 최근에는 M. Aobs 씨와 月城尚志 씨 등에 의하여 전력용 반도체를 이용한 가변 전원장치의 개발에 힘 입어 전동기에 공급되는 회전벡터 입력을 제어하는 트랜스 벡터제어의 연구가 진행되고 있다.<sup>1) 2) 5)</sup> 특히 유도 전동기의 트랜스 벡터제어에서 고속 응답을 실현하기 위해서는 저항값에 양호하게 추종 하는 공급 1차 전류를 제어하는 변환장치와 이 변환장치를 제어하는 제어회로의 설계가 요구된다. 따라서 본 연구에서는 유도 전동기의 2축 이론에 따라 3상 유도 전동기에서 전압 전류 벡터 사이의 관계를 나타내는 기본 방정식을 전류 벡터의 회전좌표 변환에 의해서 2차 자속축에 투영하여 유도하였다. 이 방정식의 뜻에 따라 고정자 전류 벡터제어에 적용하기 편리한 등 가회로를 유도하고, 고정자 전류  $I_s$  을

등 가하이자분 전류  $I_a$  와 토오크분 전류  $I_d$  로 분해하여 복소수로 나타내었다. 여기서 이 자분 전류  $I_d$  를 일정하게 유지하고 고정자 전류의 크기와 그 위치(회전각 주파수)를 벡터 제어 시킴으로서 가변속 구동되는 제어 조건식을 유도하였다. 또, 제어조건식에 따라 제어 알고리즘을 유도하여 제어회로를 구성하였다. 그 결과 전동기 시스템을 선형화하여 속도 응답 특성을 평가하고 구성된 제어 회로에 의해 고류 전동기의 속도 제어가 고정자 전동기와 같이 선형제어됨을 이론과 실험을 통 해서 구명하였다.

### 2. 고류 전동기 트랜스 벡터제어 원리

#### 2.1. 고정자 전류 벡터 제어원리

그림 1은 3상 고류 전동기 구동을 위한 고정자 전류 벡터제어 원리도이다.

3상 공급 전압  $V$  에서 전동기 입력 전압  $V_d$  까지의 전압 전류 사이의 방정식을 구하면

$$v_1 = \beta \frac{3\sqrt{2}}{\pi} V \cos \alpha - \beta (R_d + L_d p) I_d \quad (1)$$

되고,  $\theta_1$ 에 동기하에 회전하는 회전축으로 환산한 3상 전류  $I_1$  을 구하면

$$i_1 = \frac{1.21 V \cos \alpha}{(Z_M + R_d + L_d p)} \sin \omega_1 t \quad (2)$$

가 된다. 이 식에서  $\lambda_1$ 의 크기와 회전각 속도  $\omega_1$ 을 제거하는 것이 트랜스 벡터제이이다.

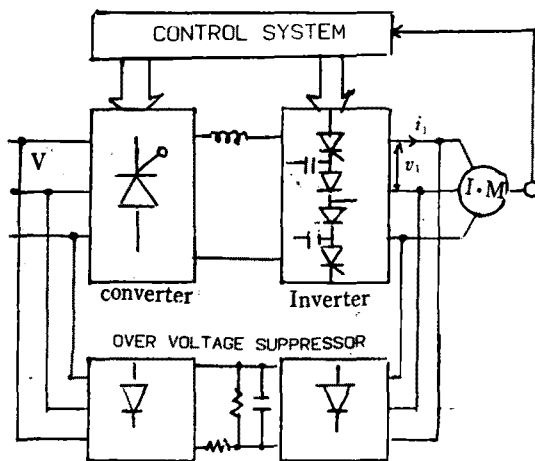


그림 1. 트랜스 벡터제이 원리

## 2.2. 농형 유도전동기의 성능

2상 유도전동기의 D-Q 축으로 표현된 전압전류 방정식에서 전류 벡터의 회전좌표 변환에 의하여 3상 농형 전동기 1상의 전압전류 벡터 방정식을 구하면 다음과 같다.

$$\begin{pmatrix} v_1 \\ 0 \end{pmatrix} = \begin{pmatrix} R_1 + pL_1 & pM \\ pM - M\omega & R_1 + pL_1 - L_1\omega \end{pmatrix} \times \begin{pmatrix} i_1 \\ i_2 \end{pmatrix} \quad (3)$$

### 발생 토오크 식은

$$T = Mi_1 \times i_2 \quad (4)$$

이식을 고정자 입력과 주파수  $\omega_1$ 으로 투영하면

$$\begin{pmatrix} v_1 \\ 0 \end{pmatrix} = \begin{pmatrix} R_1 + pL_1 & pM \\ pM + (\omega_1 - \omega)M & R_1 + pL_1 + (\omega_1 - \omega)L_1 \end{pmatrix} \times \begin{pmatrix} i_1 \\ i_2 \end{pmatrix} \quad (5)$$

이 된다.

(3)식에서 2차 회로를 변환하여 2차 자속축으로 환산하기 위해  $i_2 = k_1 i_1$  라 놓고

$$\begin{pmatrix} 1 & 0 \\ 0 & k_1/s \end{pmatrix}$$

을 좌에서 곱하면 (6)식이 된다.

$$\begin{pmatrix} v_1 \\ 0 \end{pmatrix} = \begin{pmatrix} R_1 + j\omega_1 L_1 & j\omega_1 \left(\frac{M'}{L_1}\right) \\ j\omega_1 \left(\frac{M'}{L_1}\right) & \left(-\frac{M}{L_1}\right)^2 \cdot \frac{R_1}{s} + j\omega_1 \left(\frac{M^2}{L_1}\right) \end{pmatrix} \times \begin{pmatrix} i_1 \\ \left(\frac{L_1}{M}\right) i_1 \end{pmatrix} \quad (6)$$

이 식에 대응하는 등가회로는 그림 2이다.

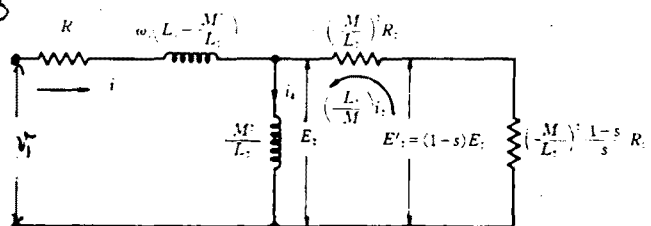


그림 2. 벡터제이의 편리한 등가회로  
이 등가회로에서 다음 식이 성립한다.

$$i_1 = i_1 - \left(\frac{L_1}{M}\right) i_1 = i_1 + i_2 \quad (7)$$

$$T = \frac{M}{L_1} (i_1) \dot{i}_2 \quad (8)$$

### 3. 농형 유도전동기 트랜스 벡터제이

#### 3.1. 저주변수 선형화 전동기 시스템의 선형화.

전동기가 평행상태로 운전될 때 발생 토오

크 식(4)와 부하 토오크 식이에는 다음 (9)

식이 된다.

$$T_L = J \frac{d\omega}{dt} + B\omega \quad (9)$$

식(5), (9)는 번수 상호간에 공항을 포함하여 비선형 이므로 동작점에서 미소 변화에 대하여 선형화 하면 다음이 된다.

$$\begin{pmatrix} \Delta i_1 \\ \Delta i_2 \\ \Delta \omega \end{pmatrix} = \begin{pmatrix} -\frac{1}{D} (\omega_{ss} M^2 - R_1 L_1) & -\frac{M}{D} (\omega_{ss} L_1 + R_1) & -\frac{M}{D} (M i_{1s} + L_1 i_{2s}) \\ \frac{M}{D} (R_1 - L_1 \omega_{ss}) & -\frac{L_1}{D} (\omega_{ss} L_1 + R_1) & \frac{L_1}{D} (M i_{1s} - L_1 i_{2s}) \\ \frac{M}{J} i_{1s} & \frac{M}{J} i_{1s} & -\frac{B}{J} \end{pmatrix}$$

$$X \begin{pmatrix} \dot{i}_1 \\ \dot{i}_2 \\ \dot{\omega}_1 \end{pmatrix} + \begin{pmatrix} \frac{L_2}{D} & \frac{M}{D}(Mi_{1s}+L_1\dot{i}_{2s}) \\ -\frac{M}{D} & \frac{-L_1}{D}(Mi_{1s}+L_2\dot{i}_{2s}) \\ 0 & 0 \end{pmatrix} \begin{pmatrix} \Delta r_1 \\ \Delta \omega_1 \end{pmatrix} = \begin{pmatrix} 0 \\ 0 \\ -\frac{1}{J} \end{pmatrix} JT_1$$

여기서,  $D = L_1 L_2 - M^2$ , 점자는 경상상태의 값.

3.2. 전류 벡터 조건식의 유도와 제어 시스템  
의 구성

토오크분전류 :  $\dot{i}_2 = k_t \int \Delta \omega dt$

고정자전류의 크기 : 식(7)에서 다음이

$$\text{유도된다. } \dot{i}_1 = \sqrt{\dot{i}_0^2 + \dot{i}_2^2}$$

스팀각주파수  $\omega_s$  제어조건 :

$$\omega_s = (R_2/M)(\dot{i}_2/\dot{i}_0)$$

과도스팀각주파수  $\omega'_s$  제어조건 :

$$\omega'_s = \dot{i}_0 \left( \frac{di_2}{dt} \right)_{\omega_1} / \dot{i}_1^2$$

고정자각주파수 :

$$\omega_1 = \omega + \omega_s + \omega'_s$$

이상의 제어조건에 따라 제어회로를 구성한  
것이 그림 3이다.

#### 4. 실험 결과

표 1에 주어진 퍼시템 전동기에 대하여 각 제  
어회로를 설계한 결과 다음과 같은 실험결과  
를 얻었다.

#### 표 1. 전동기 정수와 부하

2.2KW, 200V, 50Hz      Sr=0.05%

$R_1 = 0.859 [\Omega]$	$J = 0.02 [kg \cdot m^2]$
$R_2 = 0.459 [\Omega]$	$B = 0.001 [1/s]$
$L_1 = 0.0904 [H]$	$i_t = 4.86 [A]$
$L_2 = 0.0904 [H]$	$i_1 = 9.0 [A]$
$M = 0.0873 [H]$	$i_2 = 7.59 [A]$

#### 4.1. 각 제어요소의 설계

$$\text{SCR 콘비티: } G(s) = 1.35 V \cos \alpha$$

$$0 < \alpha < 90^\circ$$

SCR 인버터부: 전류회로(Commutation Circuit)

$$L = 120(\mu H), C = 6(\mu F)$$

DCL : 70(mH)

N-AMP 속도 제어 증폭기

$$G(s) = K_1 (1 + \tau_1 s) / \tau_1 s$$

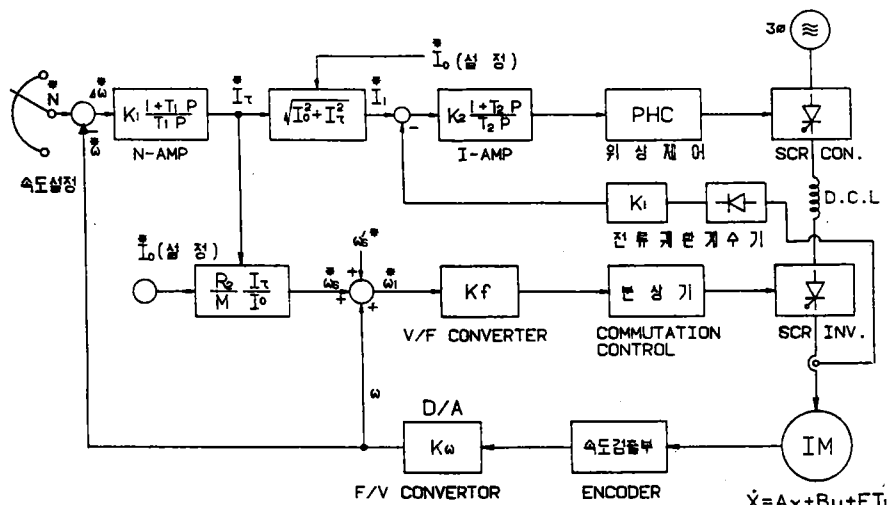


그림 3. 전류 벡터 제어시스템의 구조도

$$\omega_s : G(s) = \left( \frac{R_2}{L_2} \right) \cdot \frac{1}{T_0}$$

I-AMP : 전류 제어 증폭기

$$G(s) = K_2 \frac{(1 + T_2 s)}{T_2 s}$$

전류 제어 기수  $K_I = 0.8589$

회전수 제어 기수  $K_\omega = 101(V)/157(rad/s)$

발진기  $(K_f) = 157(rad/s)/10(V)$

#### 4.2 속도 응답 특성

그림 4는 800(rpm)으로 운전상태에서 속도 설정 변경으로 인하여 1397(rpm) 까지의 속도 응답으로 상당히 속응성을 나타낸다.

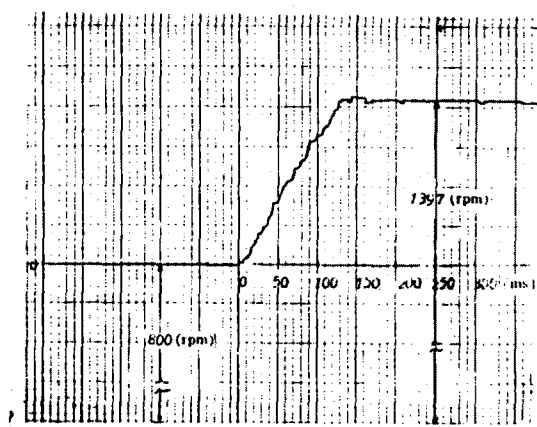


그림 4. 속도 응답 특성

#### 5. 결론

1) 3상 농형 유도전동기의 고정자 전류 부피 제어를 위한 기초 방정식을 유도하여 이 방정식에 따라 부피 제어에 편리한 등 가회로와 제어조건식을 유도하였다.

2) 이 제어조건식에 따라 가변속 고동 시스템을 제안 하였다.

3) 각 제어 시스템을 블록별로 제작하여 운전한 결과 25~1450(rpm) 까지 연속 제어할 수

있고 속도 설정 변경시 정상상태에 도달하는 데 요구하는 응답시간이 140(ms) 있다.

#### 6. 참고 문헌

- 1) M. Abbas: The stator voltage controlled current source Inverter Induction motor, IEEE Trans, Power app. vol IAS 81-250, PP. 578-585, (1981)
- 2) Masahiko Akamatsu et: High performance I.M Drive By co-ordinate control using a controlled current Inverter, IEEE Vol. IA-18, pp. 562-570, March-April, (1981)
- 3) K. Hasse: Zum dynamischen Verhalten der Asynchron machine bei Betrieb mit Variabler Stom der frequenz und stan der spannung ETZ-A 89H4, p.77, (1968)
- 4) 貝城尚志: 精密小形モータ総合資料集 Vol. 2, 総合電子リサーチ, pp. 5~20, (1982)
- 5) G.W. Revankar et: Speed control schemes for Induction motor Based on concept of Field co-ordinates, IE(I) Journal-EL, Vol.63, pp.60-63, octobar (1982)
- 6) 長瀬博: ベクトル制御の理論, 電學全國大會, Vol. 7, No. 8, pp. 58-3~88-6, (1983)
- 7) Luis Garces: Parameter Adaption for the Speed-controlled static AC Drive with a Squirrel Cage IM. IEEE Tran Ind. App., Vol. IA-16, No. 2, pp. 173~178, march (1980)